

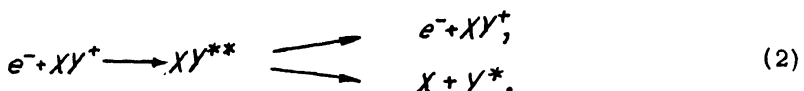
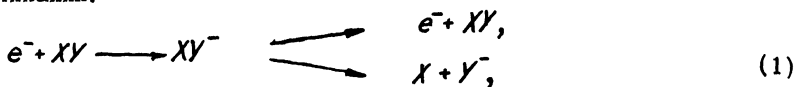
02

(C) 1991

О ВОЗМОЖНОСТИ ИССЛЕДОВАНИЯ
РЕЗОНАНСНОГО ВЗАИМОДЕЙСТВИЯ МЕДЛЕННЫХ
ЭЛЕКТРОНОВ С МОЛЕКУЛАМИ И МОЛЕКУЛЯРНЫМИ
ИОНАМИ ПО ТОРМОЗНОМУ ЭФФЕКТУ

Г.В. Г о п у б к о в, Г.К. И в а н о в

Взаимодействие медленных электронов (при энергиях E до 20 эВ) с молекулами XY или молекулярными ионами XY⁺ характеризуется наличием ярко выраженных особенностей в энергетической структуре сечений рассеяния и реакции диссоциативного присоединения:



Эти особенности обусловлены образованием на промежуточном этапе автораспадных состояний отрицательного иона XY⁻ или ридберговского комплекса XY^{XX}, которые в последние годы стали предметом интенсивного экспериментального и теоретического исследования (данные о резонансных состояниях ионов N₂⁻, CO⁻, NO⁻, O₂⁻, CO₂⁻ и т.д. приведены, например, в [1]). Прямое экспериментальное изучение процессов (1) и (2) сопряжено с большими трудностями, связанными с необходимостью высокой монохроматизации пучка электронов и недостаточно надежной точностью последующих измерений. Кроме того, наличие колебательной (и вращательной) подструктуры сильно затрудняет анализ спектров.

В настоящей работе обсуждается возможность использования тормозного излучения (ТИ) электронов для диагностики состояний промежуточных молекулярных комплексов XY⁻ и XY^{XX}. В условиях их образования сечения ТИ обладают резонансной зависимостью как от начальной $E = p^2/2m_e$, так и конечной $E' = p'^2/2m_e$ энергий электрона. Поэтому особенности электронного строения промежуточных комплексов здесь должны быть более четко выражены, чем в сечениях рассеяния электронов. Вместе с тем, как будет показано ниже, резонансная структура оказывается и не критичной по отношению к деталям энергетического распределения исходных электронов. Это позволяет рекомендовать постановку эксперимента, который может существенно дополнить традицион-

ные методы исследования (многие состояния, заселяемые в процессе ТИ, как правило, недоступны другим оптическим методам, применяемым при лазерной диагностике).

Время жизни комплекса XU^- обычно не превышает период вращательного движения. Поэтому расчет процесса



может быть выполнен в системе координат, связанной с осью молекулы. Тогда используемый для классификации состояний набор квантовых чисел системы $e^- + XU$ включает эффективный угловой момент λ , его проекцию L на ось молекулы и колебательное квантовое число σ . Аналогичные квантовые числа λ' , L' и номер s колебательного уровня иона XU^- можно ввести и для промежуточных состояний. Для простоты спиновые переменные здесь опущены.

Волновые функции системы $e^- + XU$, содержащие дискретные состояния XU^- , определены нами по схеме Фано [2] с учетом взаимодействия V_c , смещающего конфигурации $e^- XU$ и XU^- . Причем базисные функции этих конфигураций $|lls\rangle$ и $|l's'\rangle$ нормированы следующим образом:

$$\langle lls | l's' \rangle = \pi \delta(E - E') \delta_{lls, l's'}, \langle ll s | l's' \rangle = \delta_{lls, l's'}.$$

Интенсивность ТИ для перехода $\{lls\} \rightarrow \{l's'\}$, усредненная по начальному распределению $F(\epsilon)$ электронов ($\int F(\epsilon) d\epsilon = 1$), в этом случае пропорциональна величине ($\hbar = m_e = e = 1$):

$$I_{lls, l's'}^{(4)}(\Omega) = \int |\langle lls | r_k | l's' \rangle|^2 F(\epsilon) d\epsilon + \\ + \frac{1}{\pi} \sum_{ss'} \frac{\Gamma_{ks}}{\Gamma_s} |\langle lls | r_k | l's' \rangle|^2 \frac{\Gamma_s + \Gamma_{s'}}{[\Omega - (E_{lls} - E_{l's'})]^2 + (\Gamma_s + \Gamma_{s'})^2} \frac{\Gamma_{s'} \sigma}{\Gamma_{s'}} F(E_{lls}). \quad (4)$$

Здесь r_k — k -я сферическая компонента радиус-вектора электрона, Γ_{ks} — парциальная ширина резонансного уровня, Γ_s — его полная ширина ($\Gamma_s = \sum_{ss'} \Gamma_{ss'}$, где суммирование ведется по всем открытым каналам), E_{lls} — положение резонансного вибронного уровня. Из полученного выражения (4) следует, что на частотах $\Omega = E_{lls} - E_{l's'}$ должны возникать резонансные всплески ТИ, величины которых зависят от вида функции распределения $F(\epsilon)$ падающих электронов. Таким образом, по спектру ТИ немоноэнергетического пучка электронов экспериментально могут быть определены расстояния между резонансными уровнями и их автораспадные ширины, т.е. основные характеристики комплекса XU^- , которые проявляются и в сечениях столкновения медленных электронов с молекулами.

В случае ТИ медленных электронов на колебательно невозбужденных ионах XU^+ резонансная структура спектров формируется, в основном, в области энергий, расположенных ниже порога ω ко-

лебательного возбуждения иона $E < \omega$. Физическая причина появления таких резонансов заключается в том, что электрон с энергией $E < \omega$ при колебательном внутримолекулярном переходе ($\sigma = 0 \rightarrow \sigma = 1$) захватывается купоновской ямой. Как и в предыдущем случае для системы, связанной с осью молекулы введем гармоники $|2\lambda\rangle$. Тогда состояния $|2\lambda\rangle$ и $|2\lambda'\rangle$ будут относиться, соответственно, к открытому и закрытому каналам. При построении волновой функции электрона в поле молекулярного иона нами использован метод многоканального квантового дефекта (МКД) [3]. Для интенсивности спонтанного излучательного перехода из состояния $|2\lambda\rangle$ с начальным распределением электронов $F(\epsilon)$ запишем

$$I_{2\lambda, 2\lambda'}^{(k)} = \int |K_{2\lambda 0} |r_k|2\lambda, 1, 0\rangle|^2 F(\epsilon) d\epsilon + \\ + \frac{1}{\pi} \sum_{2\lambda', nn'} \frac{1}{(nn')^3} \frac{\Gamma_n|2\lambda, 2\lambda'|}{\Gamma_n|2\lambda|} |\langle 2\lambda| |r_k| 2\lambda' \rangle|^2 \times \\ \times \frac{\Gamma_n|2\lambda| + \Gamma_n|2\lambda'|}{[\Omega - (E_{n2\lambda} - E_{n'2\lambda'})]^2 + (\Gamma_n|2\lambda| + \Gamma_n|2\lambda'|)^2} \cdot \frac{\Gamma_n|2\lambda'|}{\Gamma_n|2\lambda|} F(E_{n2\lambda}), \quad (5)$$

где n — главное квантовое число ридберговского вибронного уровня закрытого канала, $E_{n2\lambda} = \frac{1}{2(n-\mu_{2\lambda})^2}$, $\mu_{2\lambda}$ — квантовый дефект. В формуле (5) дипольные матричные элементы $\langle 2\lambda| |r_k| 2\lambda' \rangle \sim \langle 2\lambda| |r_k| 2\lambda' 0 \rangle$ и правила отбора такие же, как и для континуума. Поэтому положения $E_{n2\lambda}$ ридберговских уровней и их ширины $\Gamma_n|2\lambda|$ воспроизводятся здесь в состояниях с эффективными угловыми моментами $l \leq l^* \sim \Omega^{-1/3}$, как и для прямых свободно-свободных переходов на частоте Ω , т.е. в этих условиях появляется простая возможность наблюдения ридберговских резонансов с большими угловыми моментами, что обычно затруднено в экспериментах с лазерной накачкой.

Приведенные выше формулы характеризуют парциальные сечения ТИ. Полное сечение является их суперпозицией и может быть представлено в виде

$$\frac{d\sigma}{d\Omega} = \frac{128}{9\pi} \left(\frac{\Omega}{c} \right)^3 \frac{p'}{p} \sum_{2\lambda, 2\lambda', k} I_{2\lambda, 2\lambda'}^{(k)}(\Omega), \quad (6)$$

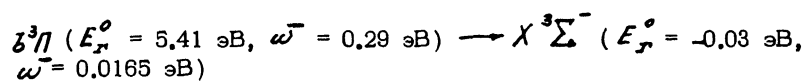
c — скорость света. В процессах $e^- + XY$ взаимодействия ТИ исчерпывается небольшим количеством парциальных сечений в (6). Число состояний 2λ в системе $e^- + XY^+$, влияющих на ТИ, велико, однако резонансные переходы здесь существенны во всех гармониках. Поэтому, основной вывод о проявлении линейчатой структуры спектров ТИ и воспроизводимость на их основе резонансной структуры сечений процессов (1) и (2) остается в силе и для полного сечения (6).

Для оценки возможности экспериментального наблюдения резонансной структуры спектра приведем ожидаемую величину се-

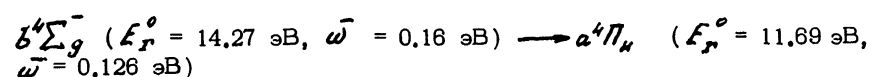
чения ТИ (6) для процесса (1) в окрестности s -го резонанса

$$\sigma_{s \rightarrow s'}^{(r)} \sim G_0 \frac{\Gamma_{so}}{\Gamma_s} \frac{1}{(\Gamma_s + \Gamma_{s'})} \cdot \frac{1}{\Delta E}, \quad (7)$$

где $\sigma_0 \sim 10^{-22} - 10^{-21} \text{ см}^2$, $\Delta E \sim 10^{-1} \text{ эВ}$ – характерная величина разброса в пучке. Принимая типичные значения автораспадных ширин для фешбаховских резонансов $\Gamma_s \sim 10^{-3} \text{ эВ}$, нетрудно получить $\sigma^{(r)} \sim 10^{-17} - 10^{-18} \text{ см}^2$, что соответствует хорошо регистрируемым интенсивностям спонтанного излучения. В качестве примера систем $e^- + XY$, в которых оптические переходы могут наблюдаться в видимой области спектра, укажем на следующие [1]:



для иона NO^- и



для O_2^- (E_r^0 – положение резонанса для основного колебательного состояния иона, ω^- – частота колебаний).

Список литературы

- [1] Hasted J.B., Mathur D., In: Electron-Molecule Interactions and Their Applications. 1984. V. 1. P. 403-475.
- [2] Fano U. // Phys. Rev. 1961. V. 124. P. 1866-1878.
- [3] Ivanov G.K., Golubkov G.V. // Z. Phys. 1986. V. D1, P. 199-206.

Институт химической физики
АН СССР, Москва

Поступило в Редакцию
17 мая 1990 г.